

فوتورسانا^یی ماندگار در کپه کادمیوم تلورايد (CdTe(Sb)

علی آرش رناسی*

چکیده

این مقاله حاصل یک طرح تحقیقاتی است که پدیده فوتورسانا^یی ماندگار^۱ (PPC) را در کپه نیمه‌رسانای کادمیوم تلورايد با آلایش آنتیموان (CdTe(Sb) بررسی می‌کند. واهلش PPC در ناحیه دمایی $295K < T < 110K$ از قانون $I_{ppc}(t) = t^{-\alpha}$ پیروی می‌کند که پارامتر فروافت α به صورت تابعی از دما تعیین شده است. با وجود این، PPC تنها در دماهای بالای $90K$ قابل مشاهده است. برخلاف نتایج گزارش شده قبلی روی بیشتر مواد که اثرات PPC را به‌طور عمده در دماهای پایین نشان می‌دهد، در اینجا سازوکار حاکم بر PPC حضور افت و خیزهای پتانسیل - محلی کاتورهای در نمونه است که ویژگی‌های ترابرد حامل را به‌شدت تحت تأثیر قرار می‌دهد. چنین افت و خیزهایی می‌تواند هم توسط افت و خیزهای ترکیبی و هم توسط پتانسیل ناخالصی ایجاد شود.

کلیدواژه

نیمه‌رسانای، فوتورسانا^یی ماندگار، افت و خیزهای پتانسیل محلی کاتورهای - جریان تاریکی، زمان واهلش.

* عضو هیئت علمی دانشگاه پیام نور مرکز بروجرد

در این مقاله نتایجی را که از طریق آزمایش به دست آورده‌ایم بررسی نموده، نشان می‌دهیم هریک از این مدل‌ها چه سهمی در منشأ پدیده PPC در خصوص CdTe(Sb) دارند.

مواد و روش‌ها

نمونه‌ای که در این طرح، فرایند واهلش PPC در آن مطالعه و بررسی شده است، کپهٔ CdTe(Sb) است که ضخامت آن 3 mm و سطحی درحدود $8\text{ mm} \times 9\text{ mm}$ دارد. از آنجایی که آزمایش‌های مربوط به بررسی نیمه‌رساناها، به‌ویژه PPC، روی سطح آنها انجام می‌شود، سطح نمونه‌ها باید کاملاً صاف و صیقلی باشد. بنابراین باستی سطح نمونه‌ها را با استفاده از سمباده‌های بسیار نرم به‌خوبی صیقل داد. برای عبور جریان در نیمه‌رساناها سیم‌های نازک مسی به کار برد شده است که این سیم‌ها توسط چسب نقره‌ای طوری روی نمونه‌ها چسبانده می‌شود که دو الکترود هر کدام به قطر 1 mm و به فاصله 3 mm از هم روی آنها تعییه گردد. برای اطمینان از اهمیت بودن اتصالات، ولتاژهای مختلفی را به صورت مستقیم و معکوس بر نمونه‌ها اعمال کرده، جریان‌های سطحی را اندازه گرفته‌ایم. نمودارهای ولتاژ جریان که در دو حالت مستقیم و معکوس به دست آمده، در شکل‌های (۱) و (۲) نشان داده شده است. این نمودارها مشخص می‌کنند که اتصالات کاملاً اهمی‌اند. توجه شود محور ولتاژ بر حسب ولت، و محور جریان بر حسب نانوآمپر درجه‌بندی شده است.

مقدمه

فوتورسانایی، افزایش در رسانایی الکتریکی نیمه‌رساناهاست که توسط تابش نور فرودی بر نیمه‌رسانا به وجود می‌آید. فوتورسانایی ماندگار (PPC) فوتورسانایی‌ای است که بعد از قطع برانگیزش نوری، برای مدتی (از دقیقه تا هزاران سال) در نیمه‌رسانا ماندگار می‌ماند. پدیده PPC در انواع بسیاری از مواد نیمه‌رسانا مشاهده شده است. اثر PPC کاربرد عملی قابل توجهی در ساخت قطعات حافظه نوری، آشکارسازهای مادون قرمز و ویدیکن‌ها^۱ و دوربین‌های تلویزیونی دارد (Sheinkman & Shik 1979). چندین سازوکار و مدل برای توصیف این اثر پیشنهاد شده است که از جمله می‌توان مدل سد ماکروسکوپیک^۲، مدل واهلش شبکه بزرگ^۳ و مدل افت و خیزهای پتانسیل - محلی کاتورهای^۴ را نام برد. در مدل سد ماکروسکوپیک، سدهایی از قبیل آنچه در پیوندها مشاهده می‌شود وجود دارد و همچنین سدهای سطحی، حامل‌های بار را در فضای حقیقی جدا می‌کنند و در نتیجه احتمال بازترکیب آنها کاهش می‌یابد (Lin et.al. 1990; Theodorou & Queisser 1983).

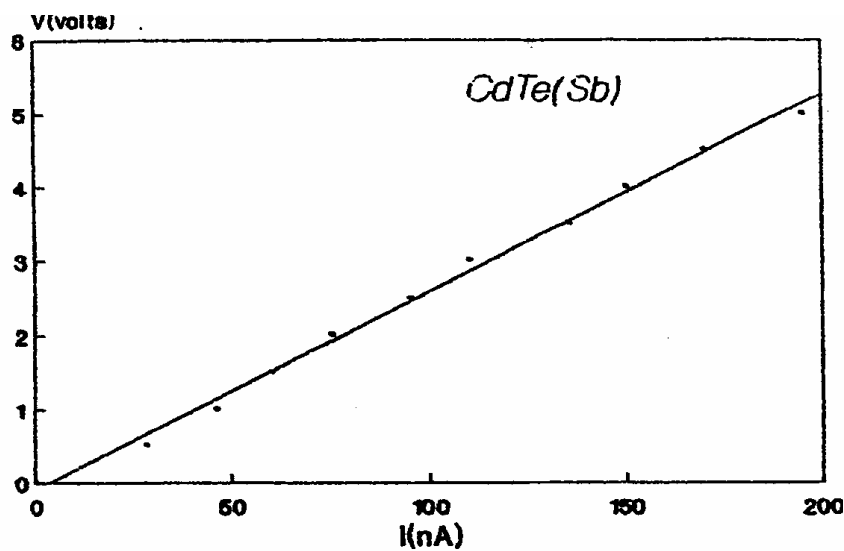
در مدل واهلش شبکه بزرگ، انرژی تابش فرودی به اندازه‌ای است که ماده حساس به نور را تغییر شکل می‌دهد و حالت‌های انرژی جای گزیده را نزدیک مکان‌های تغییرشکل یافته، مختل می‌کند (Lang & Logan 1977). در مدل افت و خیزهای پتانسیل - محلی کاتورهای، بی‌نظمی در نیمه‌رسانا موجب افت و خیز در لبه‌های نوار رسانش و ظرفیت شده، که همین امر به اثر PPC منجر می‌شود (Dissanayake et.al. 1992; Palmer et.al. 1984).

2. Vidicons

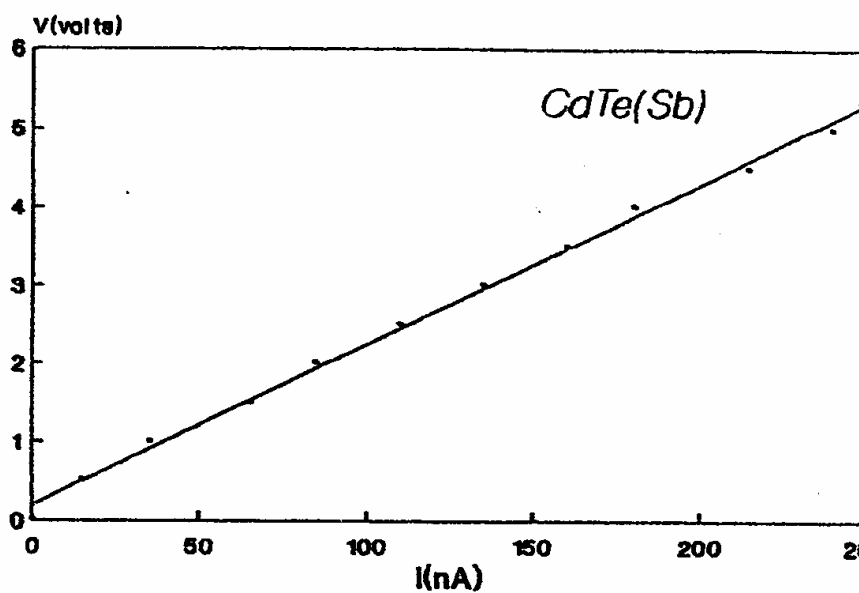
3. Macroscopic Barrier Model

4. Large Lattice Relaxation Model

5. Random Local _ Potential Fluctuations



شکل ۱. نمودار ولتاژ - جریان (با پلاریتۀ مستقیم) برای CdTe(Sb) در دمای اتاق تاریک که برای چک کردن اتصالات مهمی انجام شده است.



شکل ۲. نمودار ولتاژ - جریان (با پلاریتۀ معکوس) برای CdTe(Sb) در دمای اتاق تاریک، برای چک کردن اتصالات اهمی - مقایسه این شکل با شکل (۱) نشان می دهد که اتصالات کاملاً اهمی هستند.

فوتون‌هایی را گسیل نماید که انرژی آنها بیش از گاف انرژی CdTe(Sb) است.

نتایج و داده‌های به دست آمده در شرایط مختلف به طرقی به دست آمده است که سامانه را همیشه تا دمای اتاق گرم می‌کنیم تا نمونه را به حالت اولیه‌اش برگردانیم و سپس دوباره تا دمای مورد نظر، نمونه را سرد می‌کنیم. زمان تعادل در هر دما حدود ۳۰ دقیقه در نظر گرفته شده است. این عمل باعث می‌شود که در هر آزمایش، نمونه تحت شرایط اولیه یکسانی قرار گیرد. در تمام آزمایش‌ها، ولتاژ بایاس اعمال شده به نمونه ۳ ولت است. جریان توسط یک دستگاه نانوآمپر متر بسیار حساس که از طریق یک رابط به ریانه متصل می‌شود اندازه‌گیری شده است.

مشاهدات و نتایج و بحث

در نمونه CdTe(Sb)، چهار ناحیه دمایی متفاوت برای PPC وابسته به دما حاصل شد. به ازای $T < 90\text{ K}$ ، هیچ‌گونه اثری از PPC دیده نشد. در $90\text{ K} < T < 110\text{ K}$ تابش نور، PPC سطح - پایینی را القا می‌کند (منظور از PPC سطح - پایین این است که واهلش آن زمان بسیار کوتاهی دارد). در ناحیه دمایی $110\text{ K} < T < 200\text{ K}$ همان‌طور که در شکل (۳) نشان داده شده است، با کاهش دما PPC سریع‌تر فروافت می‌یابد. این امر برخلاف مدل‌های موجود بوده (به جز مدل افت و خیز پتانسیل - کاتورهای) و غیرمنتظره است. زیرا بنا به پیشگویی این مدل‌ها، هرچه دما پایین‌تر برود اثر PPC محسوس‌تر و واهلش آن

در این آزمایش، برای ایجاد دماهای پایین، از نیتروژن مایع که دمایی در حدود 78 K (-96°C) دارد استفاده شد؛ با این حال حداقل دمای قابل دستیابی در این آزمایشها 85 K بود. با توجه به اینکه در دماهای پایین، رطوبت هوا باعث برفک زدن و منجمد شدن نمونه‌ها می‌شود و روی خواص آنها اثر سوء می‌گذارد، برای جلوگیری از ایجاد برفک، هوای درون محفظه‌ای را که آزمایش روی نمونه‌ها در آنجا انجام می‌شود تا 10^{-3} mbar تخلیه نمودیم که این کار توسط یک دستگاه پمپ خلا - بالا صورت گرفت. برای نصب نمونه‌ها در خلا از یک نگهدارنده مسی استفاده شد (که از نظر تماس حرارتی بسیار خوب عمل می‌کند) و به وسیله یک لایه عایق الکتریکی نازک از نمونه جدا شده بود. برای تغییر دما از یک گرمکن الکتریکی که از سیم روکش دار بسیار نازک CrNi ساخته شده و به پشت نگهدارنده مسی چسبیده بود، استفاده گردید. به طوری که انتقال گرما و در نتیجه تغییر دادن دمای نمونه‌ها سریع و به راحتی امکان‌پذیر بود. اندازه‌گیری و کنترل دما توسط ترموموکوپل مس - کنستانتان انجام شد. در طول آزمایش ثابت بودن دمای نمونه به دقت کنترل شده، به طوری که خطأ در خواندن دما حداکثر 1 K بود. علاوه بر این، از یک لامپ 60 W معمولی با نور سفید به عنوان چشمۀ برانگیزش استفاده شد. خروجی این منبع طیف گسترده‌ای از طول موج‌ها را دارد، پس می‌توان اطمینان داشت که این چشمۀ قادر است

است. رسم دوباره این نمودار در مقیاس لگاریتمی نشان می‌دهد نمودار، رفتاری کاملاً خطی پیدا می‌کند و این بیانگر تبعیت فروافت PPC از قانون - توانی است. منشأ فیزیکی برای دو واهلش نمایی - کشیده و قانون - توانی، خیلی روشن نیست. با وجود این، عقیده بر آن است که هر دو می‌توانند سینیتیک واهلش گستره وسیعی از سامانه‌های نامنظم را به سمت تعادل، در شرایط Blumen et.al.1986; Liu & Chao 1989 متفاوت توصیف کنند (شکل ۴). شکل (۴) نیز منحنی فروافت PPC بهنگارشده را در ناحیه $T > 200\text{ K}$ ، بهازای $T = 250\text{ K}$ و $T = 220\text{ K}$ سه دمای مختلف نشان می‌دهد. ترسیم دوباره همین نمودار در مقیاس لگاریتمی و توجه به رفتار خطی نمودار، بیانگر این است که در گستره دمایی $T > 200\text{ K}$ فروافت PPC باز هم از قانون - توانی پیروی می‌کند.

شکل (۶)، نمودارهای فروافت PPC بهنگارشده را برای زمان‌های نوردهی ۶۰ ثانیه و ۹۰ ثانیه، در دمای 130 K ، بهازای ولتاژ بایاس ۳ ولت نشان می‌دهد. ملاحظه می‌شود که با افزایش زمان نوردهی، فروافت دیرتر، یا واهلش PPC طولانی‌تر است. همچنین، با توجه به شکل (۷)، رفتار خطی نمودار $\ln[I_{ppc}(t)]$ بر حسب $\ln(t)$ نشان‌دهنده این است که باز هم فروافت از قانون - توانی تبعیت می‌کند.

۶. جریان تاریکی (I_d)، مقدار جریانی است که در نیمه‌رسانا یا قطعه شارش می‌یابد وقتی هیچ تابشی بر آن فرود نمی‌آید.

طولانی‌تر است، ولی هنگامی که دما از 200 K بالاتر می‌رود، PPC رفتار فروافت معمولی را نشان می‌دهد، یعنی با افزایش دما PPC سریع‌تر افت پیدا می‌کند. (ر.ک. شکل ۴).

اگر جریان‌های PPC را در $t = 0$ یعنی لحظه‌ای که نور برانگیزش قطع می‌شود، به واحد بهنگار کنیم، می‌توان PPC را به صورت تابعی از زمان چنین نوشت (Jiang & Lin 1990)

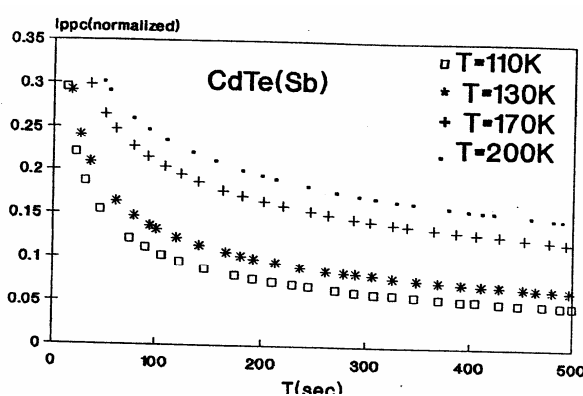
$$I_{ppc}(t) = [I(t) - I_d] / [I(0) - I_d] \quad (1)$$

که در آن $I(0)$ جریان فوتورسانایی اولیه، $I(t)$ جریان فوتورسانایی در زمان فروافت t و I_d جریان تاریکی است. رفتار فروافت PPC در $110\text{ K} < T < 200\text{ K}$ در ناحیه دمایی CdTe(Sb) می‌تواند توسط قانون - توانی زیر توصیف شود:

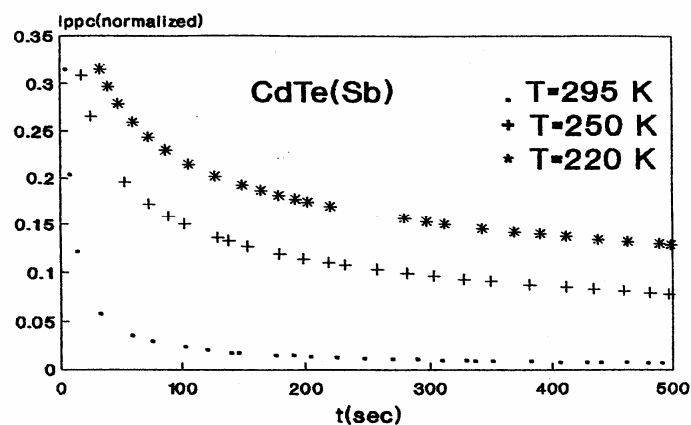
$$I_{ppc}(t) = t^{-\alpha} \quad (t > t_0) \quad (2)$$

که در آن t_0 حدود یک ثانیه و α پارامتر فروافت است. شرطی که به فاز PC مربوط می‌شود بهازای $\alpha < 1$ مشخص می‌شود. بهازای $\alpha > 1$ PPC قابل چشم‌پوشی بوده، پاسخ زمان فوتورسانایی در حدود پاسخ سامانه (یک ثانیه) است. شکل (۵) نمودار پارامتر فروافت α به صورت تابعی از دماست.

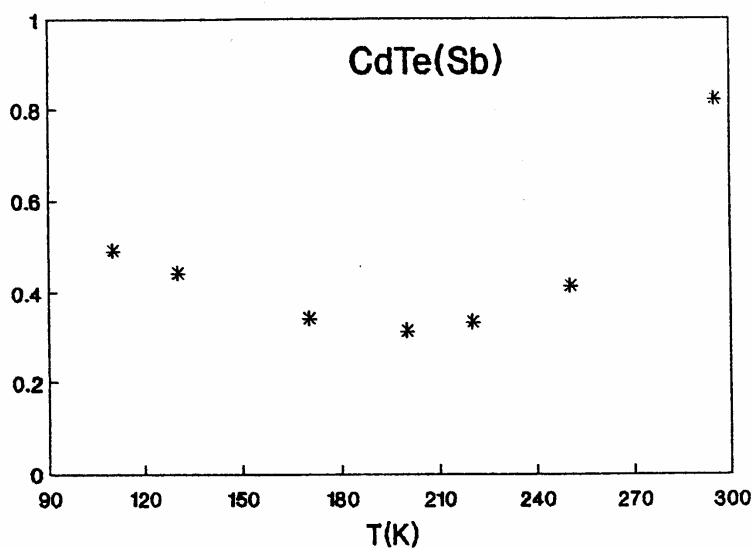
شکل (۳) رفتار فروافت PPC بهنگارشده را در ناحیه دمایی $110\text{ K} < T < 200\text{ K}$ ، بهازای چهار دمای مختلف نشان می‌دهد. در این منحنی، ولتاژ بایاس اعمال شده ۳ ولت و زمان نوردهی ۹۰ ثانیه



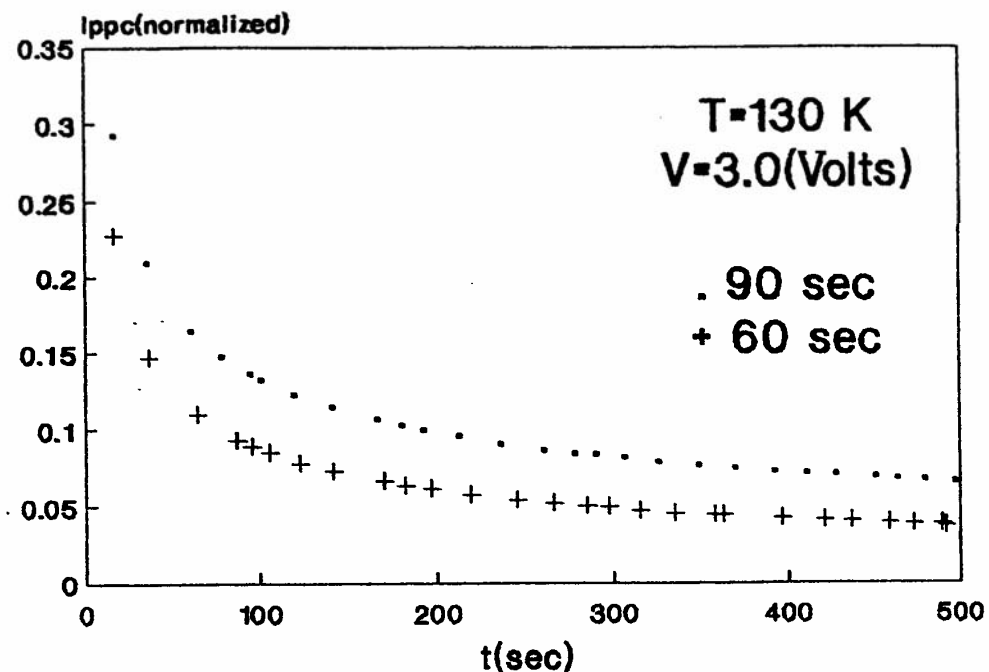
شکل ۳. نمودار فروافت PPC برای چهار دمای مختلف. هر منحنی در $t=0$ ، لحظه‌ای که نور برانگیزش قطع می‌شود، به واحد بهنجارشده و جریان تاریکی کم شده است.



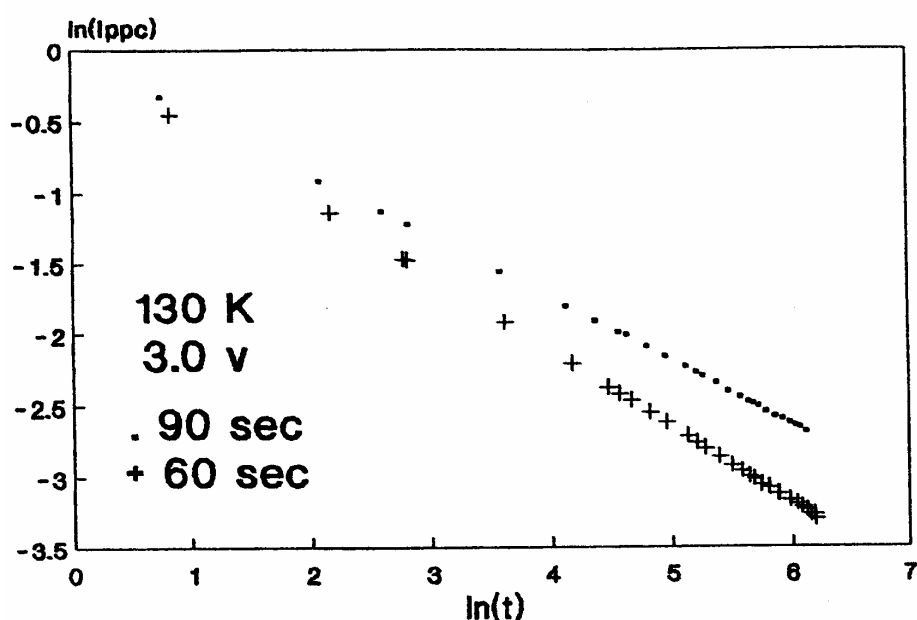
شکل ۴. منحنی‌های فروافت PPC در CdTe(Sb) برای سه دمای مختلف $T=220\text{K}$ ، $T=250\text{K}$ و $T=295\text{K}$. هر منحنی در $t=0$ ، مطابق با رابطه (۱) به واحد بهنجارشده است.



شکل ۵. پارامتر فروافت α (قانون - توانی) بر حسب دما برای CdTe(Sb) به ازای ۹۰ ثانیه تابش نور و ولتاژ بایاس ۳ ولت



شکل ۶. نمودارهای فروافت PPC برای CdTe(Sb) در دمای ۱۳۰k و ولتاژ باباس ۳/۰ ولت، بهازای ۶۰ ثانیه و ۹۰ ثانیه زمان نوردهی



شکل ۷. نمودارهای $\ln[\ln(Ippc(t))]$ برحسب $\ln(t)$ بهازای زمانهای نوردهی $t=90s$ و $t=60s$ در دمای ۱۳۰k. رفتار خطی نشان می‌دهد که

فروافت PPC بهینه‌جار شده در (CdTe(Sb) از قانون - توانی، $Ippc(t)=t^{-\alpha}$ ($t>t_0$) پیروی می‌نماید که t_0 حدود یک ثانیه است.

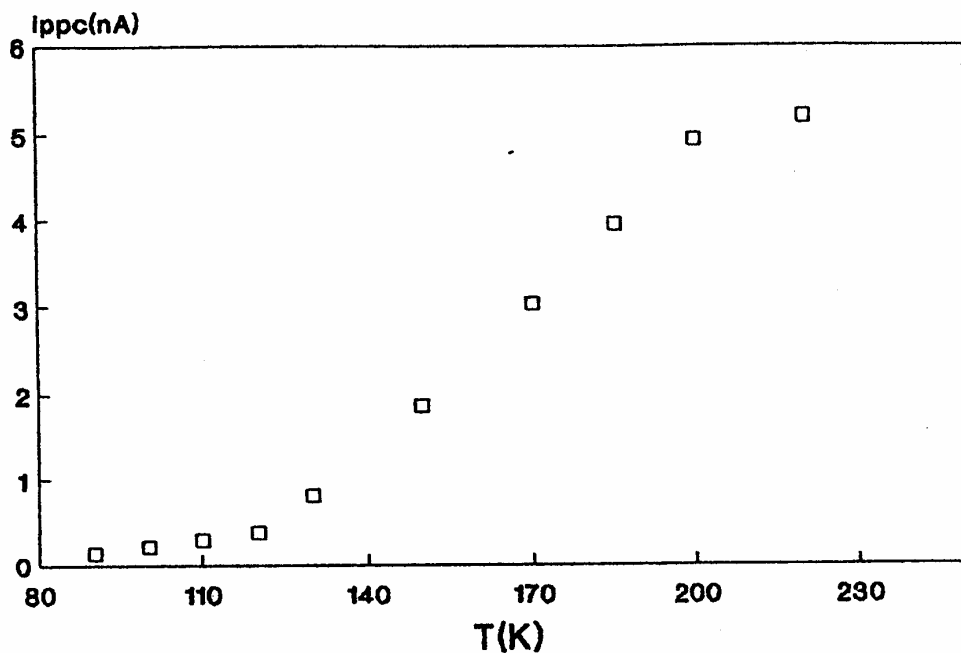
توسط رابطه (۳) قابل تشریح است. از آنجایی که نزدیک آستانه تراوش، الکترون‌ها از طریق جهش در PPC شرکت می‌کنند، در دماهای نزدیک آستانه، داده‌ها با رابطه (۳) به خوبی سازگاری ندارند. این رفتار قبلًا برای بسیاری مواد دیگر مشاهده شده است (Dutta & Horn 1981). رفتار فروافت PPC و گذار فاز نزدیک 120K تأییدی بر استدلال ما است که PPC توسط افت‌وخیزهای پتانسیل - محلی کاتورهای در نمونه القا می‌شود. در اینجا مشاهده گذار فاز در PPC، از طریق مدل واهلش شبکه بزرگ ویا از طریق مدل سدمکروسکوپیک، قابل توجیه نیست. به طور کلی نتایج به دست آمده از این طرح تحقیقاتی نشان می‌دهد در $\text{CdTe}(\text{Sb})$ ، افت‌وخیزهای پتانسیل - محلی کاتورهای که توسط افت‌وخیزهای ترکیبی و PPC یا پتانسیل ناخالصی القاء شده‌اند، مسئول مشاهده شده در آن هستند. PPC تنها به‌ازای دماهای بالاتر از 90K قابل مشاهده است. با این حال تا دمای اتفاق نیز وجود دارد. چنین رفتاری از دیدگاه دو مدل سدمکروسکوپیک و مدل واهلش شبکه بزرگ غیرمنتظره است. در گستره دمایی $295\text{K} < T < 110\text{K}$ و اهلش PPC توسط قانون - توانی به خوبی توصیف می‌شود. با توجه به دمای بحرانی به دست آمده ($T_C \approx 120\text{K}$) ملاحظه می‌شود، در دماهای بالاتر از T_C الکترون‌ها در حالت تراوش، اثر PPC را به وجود می‌آورند و در دماهای پایین‌تر از T_C پدیده PPC از طریق جهش الکترون‌ها بین حالت‌های جای‌گزیده صورت می‌گیرد. پدیده PPC در این نمونه‌ها برای کاربردهای قطعات نیمه‌رسانا، به‌ویژه آشکارسازهای مادون قرمز بسیار سودمند است.

7. Percolation Conductance

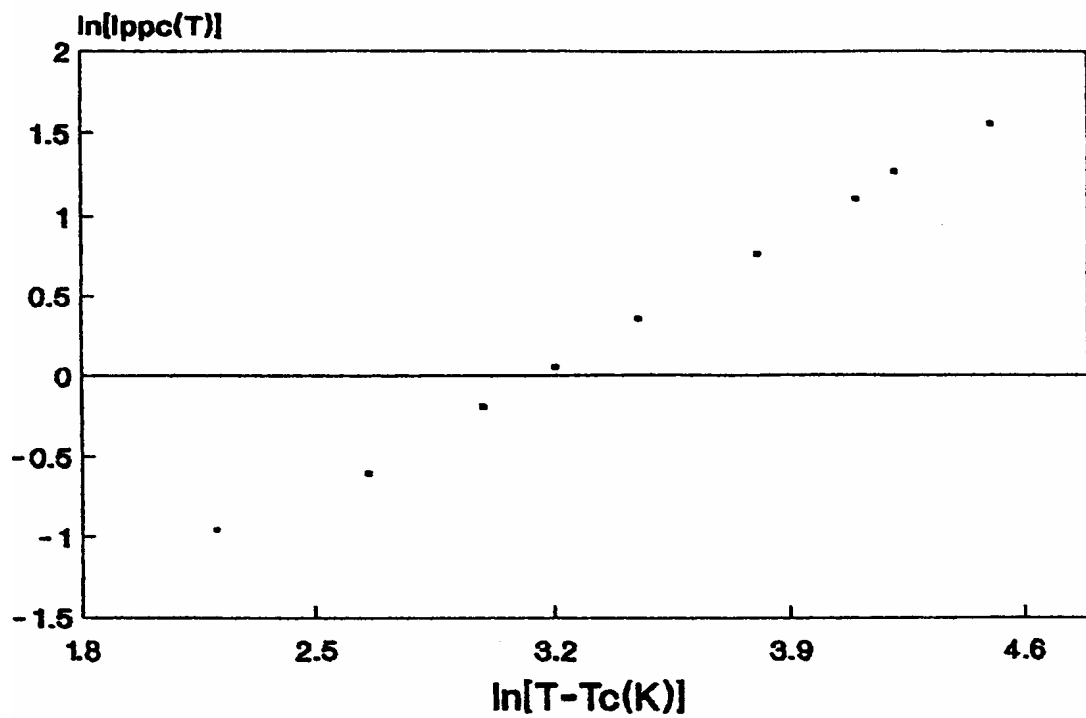
اثر PPC مشاهده شده در $\text{CdTe}(\text{Sb})$ با مدل افت‌وخیز پتانسیل - محلی کاتورهای سازگاری دارد. شکل (۸) مقادیر جریان حداکثر PPC را به صورت تابعی از دما به‌ازای 90 ثانیه تابش نور و ولتاژ بایاس ثابت 3 ولت نشان می‌دهد. در ناحیه دمایی $90\text{K} < T < 110\text{K}$ تراز فرمی در ناحیه جای‌گزیده سقوط می‌کند و سیستم در حالت رسانایی پائینی قرار می‌گیرد که در آن مورد PPC از طریق جهش الکtron بین حالت‌های جای‌گزیده انجام می‌شود. با وجود این نزدیک 120K افزایش قابل ملاحظه‌ای در PPC مشاهده می‌شود (نک. شکل ۸). در این وضعیت، الکترون‌ها از حالت‌های جای‌گزیده به حالت‌های غیرجای‌گزیده می‌روند (تراوش می‌یابند). در دماهای بالاتر از 120K ، هنگامی که حفره‌ها هنوز جای‌گزیده هستند، PPC به‌طور عمده توسط رسانش تراوش^۷ صورت می‌گیرد (جرم مؤثر حفره‌ها بسیار بیشتر از جرم مؤثر الکترون‌هاست). بنابراین، در دماهای بالاتر از آستانه تراوش، پیش‌بینی می‌شود بتوان وابستگی دمایی حداکثر جریان PPC را که در شکل (۸) نشان داده شده، توسط رابطه زیر توصیف کرد (Jiang et. al. 1991)

$$I_{PPC}(T) = \alpha(T - T_C)^V T > T_C \quad (3)$$

که در آن T_C دمای بحرانی است که در آن دما الکترون‌ها گذار فاز را از حالت‌های جهش به تراوش انجام می‌دهند و V نمای رسانندگی است. از تطبیق داده‌های تجربی با حداقل - مربعات و رابطه (۳) در ناحیه دمایی $130\text{K} < T < 200\text{K}$ مقدار نمای رسانایی $1/19 \pm 0.02$ و دمای بحرانی $K = 115 \pm 5$ به دست می‌آید، در شکل (۹) نمودار $\ln[I_{ppc}(T)]$ بر حسب $(T - T_C)$ برای داده‌های تجربی به دست آمده در ناحیه $200\text{K} < T < 130\text{K}$ رسم شده است. رفتار خطی بیانگر این است که حداکثر جریان PPC به خوبی



شکل ۸ جریان‌های حداکثر فوتورسانایی ماندگار در کپه CdTe(Sb) به صورت تابعی از دما. زمان نوردهی ۹۰ ثانیه است. به افزایش تیز نزدیک ۱۲۰k توجه شود.



شکل ۹. نمودار $\ln(I_{ppc}(T,t=0))$ بر حسب $\ln(T-T_c)$ با $T_c=115 \pm 5$ K با $v=1/19 \pm 0/02$ را نمایش می‌دهد.

- Dissanayake, A. et. al.** (1992), *Phys. Rev. B* 45, 13996;
- Dutta, P. and P. M. Horn** (1981), *Rev. Mod. Phys* 53: 479;
- Jiang, H. X. et. al.** (1991), *J. Appl Phys* 69: 6701;
- Jiang, H. X. and J. Y. Lin** (1990), *Phys. Rev. Lett.* 64: 2547;
- Lang, R and D.V. A. Logan** (1977), *Phys. Rev. Lett.* 39: 635;
- Lin, J. Lin, J. Y. et. al.** (1990), *Phys. Rev.B* 42: 5855;
- Liu, F. S. and W. Chao** (1989), *Phys. Rev. B* 40: 7091;
- Palmer, R. et. al.** (1984), *Phys. Rev. Lett.* 53: 958;
- Sheinkman, M. K. et. al.** (1979),
- Theodorou, D. E. and H. J. Queisser** (1983), *Phys. Rev. B* 27: 7786. ■

سپاسگزاری

بدین وسیله بر خود فرض می‌دانم از برادر بزرگوار، جناب آقای دکتر خانیکی، معاونت محترم پژوهشی دانشگاه پیام نور، که با ایجاد تحولات بنیادین در دستگاه تحت مدیریت‌شان، مایه دلگرمی هرچه بیشتر استادان هیات علمی در امر پژوهش بوده‌اند، سپاسگزاری و قدردانی نمایم. همچنین، از راهنمایی‌ها و تذکرات سودمند جناب آقای محمد بامداد، رئیس محترم گروه فیزیک دانشگاه آزاد اسلامی واحد بروجرد در طول سه ماهی که مشغول انجام این طرح بودم، سپاسگزارم.

منابع

Blumen A., J. Klafler and G. Zumofen:
In *Optical Spectroscopy of Glasses*, edited by I. Zschokke, Reidel, Dordrecht: 199-265;